Vol 23 No 6

Jun 2006

对苯乙烯磺酸在水滑石层间的柱撑及聚合

胡玉军 包永忠* 黄志明 翁志学 (浙江大学聚合反应工程国家重点实验室 杭州 310027)

摘 要 在共沉淀法合成层间为硝酸根的水滑石(HT)基础上,通过常温离子交换得到了对苯乙烯磺酸根柱 撑的 HT, 通过 X 射线衍射、红外光谱、元素分析表征了柱撑 HT的结构,发现采用离子交换方法能较好实现对 苯乙烯磺酸根在 HT的柱撑,并使水滑石的层间距由 0.9 mm增大到 1.83 mm,通过热引发或引发剂引发,对苯 乙烯磺酸根在层间实现聚合, HT层间距进一步增大到 1.94 nm.

关键词 水滑石,对苯乙烯磺酸,柱撑,聚合

中图分类号: 0614.2

文献标识码: A

文章编号: 1000 0518(2006) 06 0672 04

水滑石 (Hydrotalcite 简称 HT)是具有结构式 [Mg(1-x) A] + (OH)2 | x+ [Ay (nH2O)] - (其中 Ay (表阴离子)的阴离子型层状无机物,层板内原子间以强共价键结合,层间阴离子以弱化学键与层板相 连,且具有平衡骨架电荷的作用^[1]。由于 HT结构和性能独特,在催化、离子交换、吸附、聚合物改性等 方面具有良好应用前景。天然水滑石矿分布稀少,且易与叶绿泥和白云母矿共生,纯度低,分离难,使其 应用受到限制。目前,常用人工合成的水滑石。通过水滑石层间阴离子的交换,可将功能性的有机阴离 子,插入到层间,组装得到具有超分子结构的功能复合材料[2~4]。利用水滑石纳米层板的可剥离和组装 性,可以采用模板法(即在水溶性聚合物存在时生成 HT)^[5]、原位聚合法^[67]和聚合物溶液插层法^[8]制 备性能优良的聚合物 HT纳米复合材料。但由于 HT层板间电荷作用力较大,层板剥离难度大,因此有 必要研究开发新的聚合物 HT纳米复合材料制备方法。以含乙烯基的阴离子插层 HT 可以利用双键的 可(共)聚合性,实现 HT被聚合物插层或剥离。本文将在不破坏对苯乙烯磺酸根双键活性的基础上,通 过离子交换反应将其引入到 HT层间,组装具有超分子结构的对苯乙烯磺酸根柱撑的 HT,并对其结构 和聚合特性进行研究。

1 实验部分

1 1 试剂和仪器

氢氧化钠、硝酸镁、硝酸铝、对苯乙烯磺酸钠 (VBS)和硝酸均为化学纯试剂: 过硫酸钾为分析纯试 剂。

日本 SHIMADZU 公司 XRD-6000型 X 射线粉末衍射仪 (Cu 靶, $K \propto$ 射线, 扫描速度 4° m in 管压 40 kV, 管流 34 mA, 角度范围 2θ为 3°~70°); 美国 Perkin Elmer公司 PE DSC 7型差示扫描量热仪, N₂气氛围, 200 °C, 美国 Perk in E ln e r公司 Py ris 1 TGA 型热失重仪, 空气氛围, 升温速率 10 °C / m in 美国 Nexus670型红外光谱仪,样品与 KBr的质量比为 1 100, 意大利 The mo Fingnigan公司 Flash EA-1112型 元素分析仪。

1 2 硝酸根插层和对苯乙烯磺酸根柱撑水滑石的制备

采用双滴共沉淀法制备硝酸根插层水滑石。在三颈烧瓶中加入 100 mL除去 CO_3^{2-} 的蒸馏水,加入 少量硝酸,然后用 N aOH 溶液调节 pH = 10 在通 N2气条件下,缓慢滴加含 0.04 m o lM g(NO 3)2 · 6H2O 和 0.02 mol A l(NO₃)₃·9H₂O 的 100 m L混合溶液及 100 m L含 0.12 mol N aOH 的水溶液,并强烈搅拌。 过程中调节滴速使 pH 值保持在 10左右,滴加完毕再将胶状液分散在 75 ℃晶化 20 h 过滤,并用热水 洗涤至 $_{
m H}$ <8 部分滤饼保存备用,部分真空干燥得到硝酸根插层水滑石,记为 $_{
m NO_{\it T}HT}$ 。

采用离子交换法制备对苯乙烯磺酸根柱撑水滑石。将已制备的硝酸根插层水滑石滤饼分散在 $100\,\mathrm{m}\,\mathrm{L}$ 蒸馏水中,与含 $0.04\,\mathrm{mo}\,\mathrm{IVBS}$ 的 $100\,\mathrm{m}\,\mathrm{L}$ 水溶液混合,调节体系 $\mathrm{pH}=8$ 常温、通 N_2 气条件下剧烈搅拌 $6\,\mathrm{h}$ 过滤、用蒸馏水洗涤 $2\sim3$ 次得到滤饼,在 $25\,^{\circ}$ 个下真空干燥 $1\sim2\,\mathrm{d}$ 得到对苯乙烯磺酸根柱撑水滑石 (记为 VBSHT)。

1.3 对苯乙烯磺酸根在水滑石层间的聚合

采用 2种方法进行柱撑对苯乙烯磺酸根的聚合: 一是将少量对苯乙烯磺酸根柱撑水滑石置于差示扫描量热仪 (DSC)的样品池中,200 $^{\circ}$ C、 N_2 气气氛下热聚合; 另一种是将对苯乙烯磺酸根柱撑水滑石分散在质量分数为 0.25%的过硫酸钾水溶液中, 在 90 $^{\circ}$ C下反应 4 h。将聚合后对苯乙烯磺酸根柱撑水滑石记为 PV BS-HT。

2 结果与讨论

2 1 对苯乙烯磺酸根柱撑水滑石的制备和组成

共沉淀法是制备有机阴离子插层水滑石的常用方法,但是采用该方法需要长时间的高温晶化,用于制备对苯乙烯磺酸根插层水滑石 (VBSHT)时,可能造成 VBS的聚合。离子交换法是制备有机阴离子柱撑 HT的另一途径,由于层间阴离子为 NO_3 的 HT中 NO_3 与层板间的相互作用力较弱,在常温下就可使 NO_3 离子被有机阴离子交换出来,因此本文采用先合成层间为 NO_3 的 HT(NO_3 HT),再进行离子交换的方法,制备 VBS HT。但是, CO_3^2 在 HT层间的稳定性远大于 NO_3 ,为避免形成 CO_3^2 插层 HT, 整个实验过程必须用 N_2 气保护以隔绝 CO_3 同时实验使用严格除去 CO_3^2 的蒸馏水。

对合成的 V BS-HT进行元素分析, 其 C、N、H 元素含量分别为 20. 17%、0.16%、4.50%,少量 N 元素含量表明 NO₃ 未被对苯乙烯磺酸根完全取代。同时由 X 射线衍射谱图(图 1)可看出,没有出现层间距为 0.78 m 左右的碳酸根插层水滑石的特征衍射峰,但仍有硝酸根插层水滑石的弱衍射峰,因此可以认为 V BS-HT层间不存在 CO_3^2 ,只有对苯乙烯磺酸根和 NO_3 (图 1 曲线 b)。由于实验中 n(Mg) in(Al) = 2 il 根据元素分析结果,推断 VBS HT的分子式为:

$$M g_4 A \frac{1}{2} (CH_2 = CH C_6 H + SO_3)_{1.45} (NO_3)_{0.08} (OH)_{12.42} \cdot 4H_2O$$

2 2 不同柱撑结构水滑石的 X 射线衍射谱图

图 1是 NO_5 -HT、VBS-HT和 PVBS-HT的 XRD 谱图。由图可见,采用共沉淀法制备的 NO_5 -HT和离子交换法制备的 VBS-HT的衍射谱图基线低且平稳,衍射峰尖耸,表明晶体单一、结构完整、晶面有序度较高。对苯乙烯磺酸根柱撑水滑石的层间距为 1.83~m,比硝酸根柱撑水滑石的层间距 0.9~m 有明显的扩大,表明对苯乙烯磺酸根已成功地将硝酸根从层间交换出来。

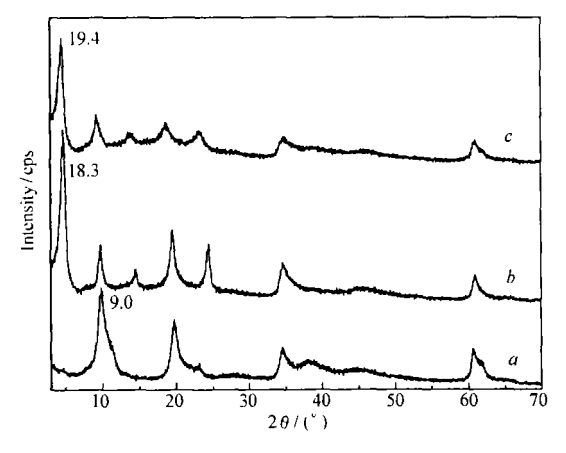
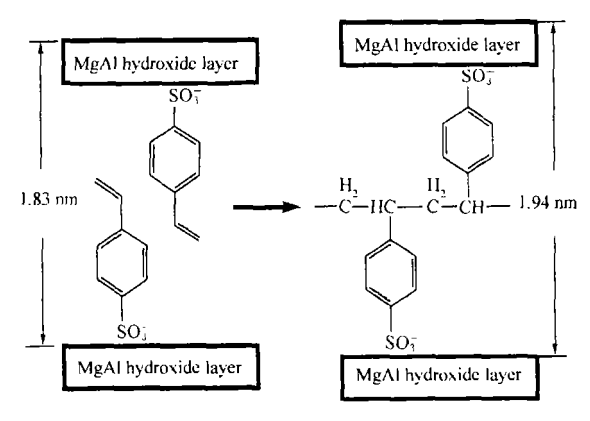


图 1 不同结构水滑石的 X射线衍射曲线

Fig 1 XRD patterns of (a) NO₃-HT, (b) VBS HT and (c) PVBS HT



Scheme 1 Illustration of VBS HT and
PVBS LDH structures

PVBS HT的 XRD 谱图如图 1曲线 c所示, 计算得到其层间距为 1.94 nm, 这与 M ou jah id 等 $^{[9]}$ 报道 的数据一致。这是由于层间的对苯乙烯磺酸根之间发生了聚合反应,分子的重整排列使水滑石层间距 再次扩大, 其机理如 Scheme 1所示。

2.3 不同柱撑结构水滑石的红外谱图

图 2是 NO≅HT(曲线 a)、VBSHT(曲线 b)和 PVBSHT(曲线 c)的 FTIR 谱图。

图 2曲线 a中指纹区 447和 670 cm⁻¹处是水滑 石层板上的 Mg=0 和 $A \vdash 0$ 的振动吸收峰; 在 1 384 cm ⁻¹处是 NO₃上 N=O伸缩振动吸收峰。曲 线 b在 1 630 cm $^{-1}$ 附近是水的弱弯曲振动谱带和 C──C伸缩振动吸收峰; 在 992和 930 cm ⁻¹处是末端 烯基—CH₂面外弯曲振动的特征吸收峰; 1 180和 1 037 cm ⁻¹处是磺酸基上 S=O的不对称伸缩振动和 对称伸缩振动谱带。在 PVBSHT对应的曲线 c中, 末端烯基的特征吸收谱带消失, 磺酸基上 S=0的不 对称伸缩振动和对称伸缩振动谱带出现在 1 178和 1 037 cm ⁻¹附近,与 M ou jah id等 ^[9]报道的数据相近。

2 4 对苯乙烯磺酸根柱撑水滑石的热性能

图 3是 NO₃-HT和 VBS-HT的热失重曲线。图 中低于 250 ℃是失去表面和层间结晶水的阶段,这

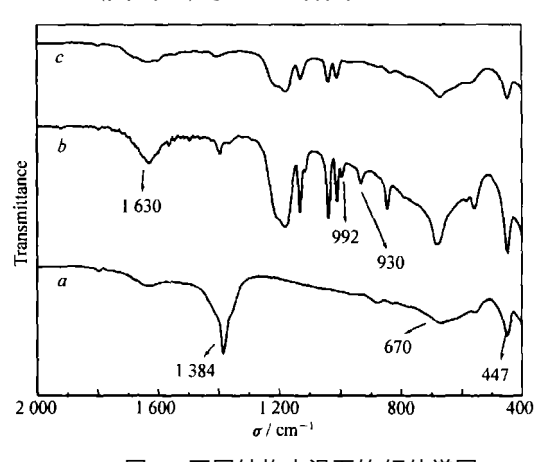


图 2 不同结构水滑石的红外谱图 Fig. 2 FTIR spectra of (a) NO₃-HT, (b) VBS-HT and (c) PV BS-HT

时 HT的层状结构并没有被破坏。这个阶段 VBS HT 脱水较快,这很可能是由于层间距扩大,使结晶水 容易逃逸。 而大于 250 °C时为层间羟基缩水、HT结构被破坏的阶段,这个阶段 VBS-HT失重速度明显 比 NO THT 缓慢。这说明对苯乙烯磺酸根的存在能提高 HT的热稳定性。

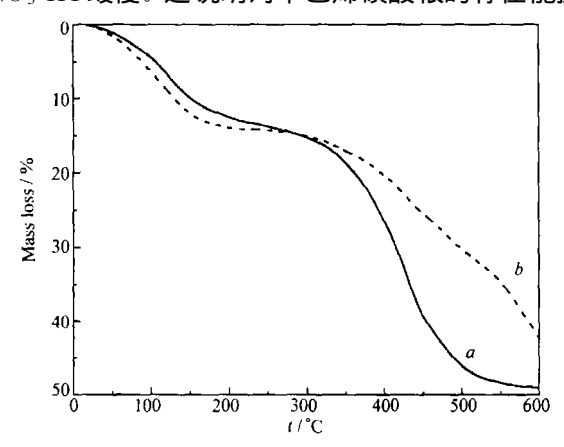


图 3 NO₃-HT(a)和 VBS HT(b)的热失重曲线 Fig 3 TGA curves of (a) NO₃-HT and (b) VBSHT

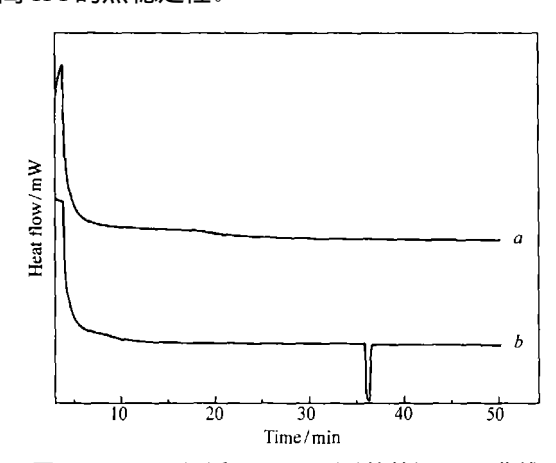


图 4 NO₃-HT(a)和 VBS-HT(b)的等温 DSC 曲线 Fig 4 Isothermal DSC curves of (a) NO₃-HT

and (b) VBS HT

图 4是 NO₃-HT和 VBSHT在 200 ℃下、N₂气氛围中的等温 DSC曲线。

比较曲线 a 和 b 可见,曲线 b 上有 1个明显的放热峰。推测这是因为 HT层间的对苯乙烯磺酸根之 间发生聚合,反应放热所致。从图中可以看出,聚合反应出现得较晚,这是因为 HT的静电吸附作用限制 了对苯乙烯磺酸根的活性以及 HT层间可能存在的杂质使聚合反应存在一个诱导期。

由此可见,采用离子交换方法成功制备了对苯乙烯磺酸柱撑的水滑石,它可直接聚合得到聚对苯乙 烯磺酸 水滑石复合材料,也可进行其它乙烯单体与对苯乙烯磺酸柱撑水滑石的原位聚合,制备插层或 剥离型水滑石 聚合物纳米复合材料。

参考文献

- 1 Cavani F, Trifiro F, Vaccari A. Catal Today J, 1991 11, 173
- 2 JAO Q ing Z e(矫庆泽), ZHAO Y un(赵芸), X IE Hu i(谢晖), et al Chinese J Appl Chan (应用化学)[J], 2002, 19(10): 1 011
- 3 SUN Your Song(孙幼松), JIAO Qing Ze(矫庆泽), ZHAO Yun(赵芸), et al Chinese J Appl Chan(应用 化学)[J], 2001, 18(10): 781
- 4 A isawa S Ohnum a Y, H irose K, et al Appl Clay Sci J, 2005 28 137
- 5 Wilson J C R. Olonunyo lem i T, Jaworski A, et al Appl Clay Sci J, 1999 15, 265
- 6 H sueh H ubai Bin Chen Chuh Yung Polymer J, 2003 44 5 275
- 7 Isupov V P Chupakh in a L E Ozerova M A, et al Solid State Ionics J, 2001, 141~142, 231
- 8 ChenW, Qu B- J Chen Mater J, 2003 15 3 208
- 9 Moujah id ElM, Inacio J Besse J et al Microporous Mesoporous Mater [J], 2003 57: 37

Pillaring and Polymerization of Vinylbenzene Sulfonate in the Interlayer of Hydrotalcite

HU Yu- Jun BAO Yong Zhong*, HUANG ZhiM ing WENG Zhi Xue (StateKey Labora tory of Polymer Reaction Engineering, Zhejiang University, Hangzhou 310027)

Abstract Viny benzene sulfonate (VBS) pillared hydrotalcite (VBSHT) was obtained by the ion-exchange reaction of VBS with nitrate anion pillared HT (NO₃-HT), which was previously prepared by a ω -precipitation method. The polymerization of pillaring VBS was conducted. The structure of VBS pillared HT and its polymerization product were characterized by means of X-ray diffraction infrared spectrum and elemental analysis. It was found that well pillaring of VBS in HT could be achieved *via* ion-exchange reaction, and the interlayer spacing increased from 0.90 nm for NO₃-HT to 1.83 nm for VBS pillared HT. The interlayer spacing was further increased to 1.94 nm after VBS was polymerized in the interspace of HT.

Keywords hydrotalcite viny lbenzene sulfonate pillar polymerization